

بررسی تجربی وابستگی عدد اشتروهال و پسا میانگین به موقعیت یک سیلندر دایروی پشت یک ایرفویل

عبدالله شادآرام^۱، سیما باجلان^۲ و سید آرش سید شمس طالقانی^۳

دانشکده مهندسی مکانیک

دانشگاه صنعتی خواجه نصیر الدین طوسی

(تاریخ دریافت: ۸۹/۱۲/۰۹؛ تاریخ پذیرش: ۹۱/۱۲/۰۷)

چکیده

تداخل آبودینامیکی سیلندر استوانه‌ای و دنباله ایرفویل بالا دست اثر چشمگیری بر عملکرد بسیاری از سیستم‌های مهندسی، از جمله فن‌های خنک کننده الکترونیکی و توربوماشین‌ها دارد. نیروهای سیالی و عدد اشتروهال مهم‌ترین پارامترها در طراحی مهندسی و مبحث اثرات تداخل می‌باشند. برخی پارامترها، بهویژه عدد رینولدز و موقعیت و ابعاد نسبی اجزاء بهشت بر تداخل آبودینامیکی دنباله تأثیر گذارند. پژوهش حاضر به بررسی اثر چیدمان شامل؛ زاویه حمله ایرفویل و موقعیت عرضی سیلندر نسبت به ایرفویل بر میانگین ضریب پسا مجموعه و عدد اشتروهال در دنباله نزدیک سیلندر می‌پردازد. اندازه‌گیری‌ها در رژیم زیرحرانی و به روش سرعت‌سنگی سیم‌داغ صورت گرفته است. وابستگی این پارامترها به چیدمان در ارتباط با ساختار گردابهای جریان و پارامترهای مشخصه جریان مورد بررسی قرار گرفته است. از نتایج حاضر، سه الگوی تداخلی: (۱) جسم گسترده، (۲) بحرانی و (۳) همانتشار بر اساس چیدمان بهدست آمده و دید روشی نسبت به فرآیند فیزیکی تداخل دنباله و ساختار گردابه حاصل شده است. همچنین، رفتار متضاد ضریب پسا و عدد اشتروهال نسبت به یکدیگر مورد بررسی قرار گرفته است.

واژه‌های کلیدی: عدد اشتروهال، ایرفویل، پسا، تداخل دنباله، سیلندر

Experimental Study of the Dependence of Strouhal Number and Mean Drag on the Arrangement of a Circular Cylinder Behind an Airfoil

A. Shadaram, S. Bajalan, and A. Shams Taleghani

Mech. Eng. Dep't.

K.N. Toosi Univ. of Tech.

(Received: 28 February, 2011; Accepted: 25 February, 2013)

ABSTRACT

The interaction between wakes of bluff body and airfoil has profound influences on system performance in many industrial applications, e.g., turbo-machinery and cooling fan. The present work investigates the effect of configuration including airfoil's angle of attack and transverse spacing of the models on frequency behavior of the cylinder's near-wake. The experiments were carried out under subcritical flow regime, using hot-wire anemometry (HWA). The relationship between the Strouhal numbers, mean drag coefficient, and arrangements provide an insight into the global physical processes of wake interaction and vortex shedding. Present results show three basic types of flow pattern of wake interference, namely (1) Extended-Body Pattern, (2) Critical Pattern, and (3) Co-Shedding Pattern.

Keywords: Strouhal Number, Airfoil, Drag, Wake Interaction, Cylinder

۱- دانشیار (نویسنده پاسخگو): shadaram@kntu.ac.ir

۲- کارشناس ارشد: S_bajalan@sina.kntu.ac.ir

۳- دانشجوی دکتری: Arash_taleghani@yahoo.com

عامل افت اندازه حرکت به دلیل اثرات لزجت در لایه مرزی بر اساس قانون دوم نیوتون می‌باشد. بنابراین، انگرال گیری از اندازه حرکت خطی داخل حجم کنترل اطراف مدل‌ها، اطلاعاتی راجع به پسای آبودینامیکی اعمال شده بر آنها به دست می‌دهد.

به علاوه، رینولدز بالای دنباله عامل انتشار متناوب گردابه، در مسیری مشابه مسیر ون کارمن و با فرکانسی غالب می‌باشد. در بسیاری از سیستم‌های کاربردی، فرکانس انتشار گردابه عامل اختشاشات صوتی، ارتعاشات سازه‌ای و حتی پدیده تشدید و در نتیجه ناکارآمد شدن سیستم است. از این‌رو، یک موضوع مهم تحقیق در دنباله نزدیک، ناپایداری جریان است. عدد اشتروهال نمای بی‌بعد فرکانس انتشار گردابه است که به صورت ضرب فرکانس در طول مشخصه معیار بر سرعت جریان اصلی تعریف می‌شود. این فرکانس با کاهش پهنای دنباله و طول تشکیل بازچرخشی افزایش می‌پاید.

بیشترین مطالعات تداخل دنباله‌ها، مربوط به دو و یا چند سیلندر استوانه‌ای در چیدمان‌های مختلف می‌باشد. اکثر این مطالعات بر اساس مشاهده جریان و به صورت تجربی و در ناحیه رینولدز زیر بحرانی ($\text{کمتر از } 1/5 \times 10^5$) بوده‌اند و بر پیامدهای بنیادی مانند تشکیل لایه‌های مرزی، بارگذاری ناپایدار و میانگین سیالی و شناسایی رژیم‌های جریانی دنباله در فاصله‌گذاری‌های مختلف تمرکز داشته‌اند [۶-۱۶]. از جمله نتایج این تحقیقات تعیین آغاز ریزش گردابه در سیلندر بالادست با کاهش ناپیوسته در پسای سیلندر پایین دست است. آلام و زو^۱ [۷] به بررسی تجربی ساختار جریان، فرکانس دنباله و نیروهای سیالی برای دو سیلندر هم‌راستا با نسبت قطرهای مختلف پرداختند. با افزایش نسبت قطر بالادست به پایین دست، فرکانس ریزش گردابه در دنباله سیلندر بالادست افزایش و دیگری کاهش می‌پاید. همچنین، با کاهش این نسبت پسای میانگین سیلندر پایین دست به دلیل کاهش حجم سیال مرده و یا فشار دینامیک بین دو سیلندر، افزایش می‌پاید. بسیاری از کاربردهای مهندسی با مسئله تداخل دنباله ایرفویل با مقاطع دیگر مانند ایرفویل و

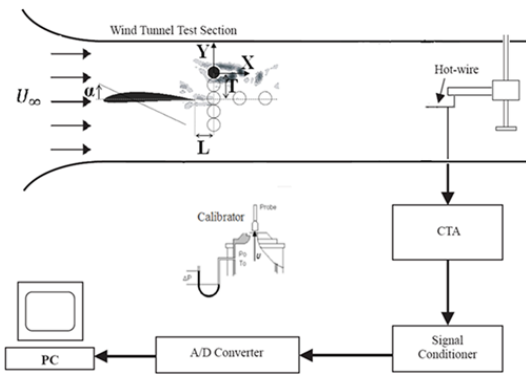
فهرست علائم	
u	سرعت میانگین افقی، m/s
N	نیرو، N
L	فاصله طولی سیلندر از لبه فرار ایرفویل، mm
St	عدد اشتروهال
T	فاصله عرضی مرکز سیلندر از وتر ایرفویل، mm
X	موقعیت طولی حسگر، mm
Y	موقعیت عرضی حسگر، mm
علائم یونانی	
ρ	چگالی، kg/m ³
زیرنویس	
a	ایرفویل
c	سیلندر
d	پسا

۱- مقدمه

میدان جریان اطراف چند جسم نزدیک به هم بسیار متفاوت از میدان اطراف جسم منفرد است. تداخل آبودینامیکی دو جسم مجزا و نزدیک به هم شامل مکانیزم‌های تداخل لایه‌های برشی، دنباله‌ها و مسیرهای گردابه‌ای ون کارمن است. تداخل دنباله ناحیه‌ای است که بخشی یا تمام یک جسم در معرض دنباله جسم دیگر قرار می‌گیرد و این تداخل اثرات مستقیم بر مهندسی سیستم‌ها دارد. چندین ترکیب از جسم‌های لبه پهن و شکل جریانی با مجاورت نزدیک به هم، مانند ترکیب پایه با روتور یا استاتور در توربوماشین‌ها و موتور پروانه‌ای و همچنین فن در سیستم‌های خنک‌کننده و هاورکرافت وجود دارد.

نیروهای سیالی و عدد اشتروهال مهم‌ترین عوامل در طراحی مهندسی اجسام در معرض جریان می‌باشند. هر تغییر کوچک در نیروی پسا یا رفتار ناپایدار دنباله تأثیر چشمگیری بر کارآیی سیستم دارد. نیروی پسا در جریان با رینولدز بالا، به طور عمده از اختلاف فشار بین سطوح بالادست و پایین دست ناشی می‌شود و مونتم سیال در تعیین رفتار آن بیشتر از لزجت تأثیرگذار است. کاهش فشار پشت اجسام و مراکز کم فشار گردابه‌های دنباله و سرعت کاهیده در دنباله

NACA4412، با وتر 100 mm و نسبت قطر سیلندر به وتر ایرفویل $14/10$ می‌باشد. شماتیک تجهیزات آزمایشگاه و مختصات اندازه‌گیری در شکل ۱ نشان داده شده است. در این بررسی، T فاصله عرضی مرکز سیلندر از خط وتر ایرفویل در زاویه حمله صفر و L فاصله طولی آن از لبه فرار است. موقعیت‌های عرضی $T/D = 0 \pm 1$ و $L/D = 1/5 \pm 2$ در $T/D = 1/5$ برای سه زاویه حمله صفر، 5° و 10° مورد بررسی قرار گرفته است.



شکل (۱): شماتیک تجهیزات آزمایشگاه و معرفی مختصات.

به منظور کاهش اثرات نیروی فشاری، مقطع اندازه‌گیری پروفیل میانگین سرعت برای محاسبه پسا در دورترین فاصله ممکن از مدل $(X/D = 10)$ انتخاب شده است. مقدار این ضریب از معادله اندازه حرکت به صورت زیر به دست می‌آید:

$$(1) F_d = \rho \int_{-b}^b u(Y)(u_\infty - u(Y))dY,$$

که در آن، $u(Y)$ پروفیل سرعت در دنباله، و انتگرال در عرض $2b$ محاسبه می‌شود. بازه داده‌برداری سنسور از -5° تا $+5^\circ$ میلی‌متر با گام‌های 2 mm و برای محاسبه انتگرال، روش قاعده ذوزنقه به کار گرفته شده است.

همچنین، اندازه‌گیری سرعت نوسانی راستای جریانی دنباله نزدیک به منظور بررسی رفتار فرکانسی در $X/D = 1/5$ و $Y/D = 1$ انجام شده است. تعداد قله در طیف توانی یک سیگنال، نشان‌دهنده تعداد مسیرهای گردابه‌ای متناوب است. بنابراین، برای مورد مطالعه حاضر، St_a و St_e به ترتیب، فرکانس‌های غالب انتشار متناوب گردابه از سیلندر و ایرفویل می‌باشند. نرخ نمونه‌برداری سرعت سنج 1 kHz و تعداد نمونه‌های نوسانی در هر موقعیت $12,000$ می‌باشد.

سیلندر در گیرنده زانگ^۱ و همکارانش [۸] به بررسی تجربی تداخل سیلندر با دنباله نزدیک ایرفویل بالادست با هدف درک مکانیزم تولید اغتشاشات صوتی در فن پرداختند. نتایج نشان داد که، عدد رینولذ و فاصله افقی اجسام تأثیر چشمگیری بر نیروهای ناپایدار اعمالی بر سیلندر دارند. 3° و همکارانش [۹] به منظور بررسی صحت کارهای زانگ، با حل عددی معادلات گردابه نتایج مشابهی به دست آورند. همچنین ایلدیریم^۲ و همکارانش [۱۰] به بررسی اثر زاویه حمله بر الگوی تداخل به روش آشکارسازی جریان در رینولذ $2,700$ بر اساس قطر سیلندر و به روش سرعت‌سنجی تصویر ذرات پرداختند.

در هیچ‌یک از مطالعات مربوط به پروفیل سیلندر پشت ایرفویل اندازه‌گیری جامع و دقیقی برای شناسایی رفتار فرکانسی دنباله تداخلی، الگوی گردابه‌ای، تغییرات نیروی سیالی میانگین و مشخصات آشفتگی و دسته‌بندی رژیم‌های جریانی بر این اساس صورت نگرفته است. از این‌رو، تحقیق حاضر به بررسی تجربی اثر زاویه حمله ایرفویل و فواصل طولی و عرضی سیلندر از ایرفویل بر پسای میانگین ترکیبی مجموعه و رفتار فرکانسی دنباله نزدیک سیلندر می‌پردازد. همچنین وابستگی این پارامترها به نحوه چیدمان مورد بررسی قرار گرفته است. بررسی نتایج دید روشنی نسبت به فرآیند فیزیکی تداخل دنباله و ساختار جریان به دست می‌دهد. اندازه‌گیری پروفیل سرعت میانگین و آشفتگی راستای جریان با روش سرعت‌سنج سیم داغ در رژیم زیربحاری صورت گرفته است. بقای اندازه حرکت خطی برای تعیین پسا، و روش تبدیل فوریه و ضرایب میانگین طیفی جهت شناسایی فرکانس‌های غالب سیگنال مورد استفاده قرار می‌گیرد.

۲- تجهیزات آزمایشگاهی

آزمایش‌های حاضر در توپل‌باد سرعت پایین و مدار باز، با سطح مقطع آزمایش $300\text{ mm} \times 300\text{ mm}$ و طول کاری 600 mm و اندازه‌گیری میدان میانگین و نوسانی سرعت با استفاده از سنسور نوع X انجام شده است. مقطع ایرفویل

1- Zhang

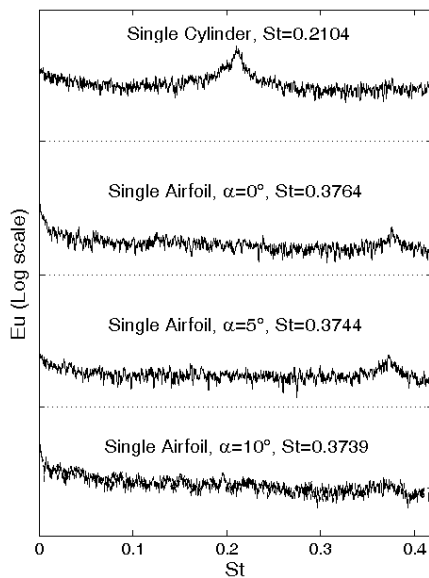
2- Zhou

3- Yıldırım

جدول (۱): مقایسه ضریب پسا اندازه‌گیری شده برای مدل‌های منفرد با مقادیر سایر مراجع.

C_d (سایر مراجع)	C_d (مطالعه حاضر)	مدل
[۱۱] ۱/۰۲۴	۱/۰۶۹	سیلندر
[۱۲] ۰/۰۴۰	۰/۰۴۱	ایرفویل $^{\circ}$
[۱۲] ۰/۰۴۷	۰/۰۴۸	ایرفویل $^{\circ} ۵$
[۱۲] ۰/۱۱	۰/۱۱۴	ایرفویل $^{\circ} ۱۰$

نمودارهای طیف توانی شکل ۳ دارای حداکثر مقادیر $0/2104, 0/3744, 0/3764$ و $0/3739$ به ترتیب برای سیلندر منفرد و ایرفویل منفرد در زوایای صفر، $^{\circ} ۵$ و $^{\circ} ۱۰$ است. با افزایش زاویه حمله، نقطه جدایش به بالادست و به سمت لبه حمله حرکت می‌کند و ابعاد ناحیه جدایش افزایش می‌یابد. بهمین دلیل با افزایش زاویه حمله پهنای باند اطراف قله افزایش یافته و تشخیص مقدار حداکثر دشوارتر می‌شود.



شکل (۳): طیف توانی مؤلفه سرعت در راستای جریان، Eu برای مدل‌های منفرد.

با افزایش زاویه حمله، گردابه‌های بیشتری تشکیل مسیر گردابه می‌دهند و با افزایش حجم سیال مرده یا کاهش فشار دینامیک در سطح بالایی ایرفویل، ناپایداری در جریان دنباله

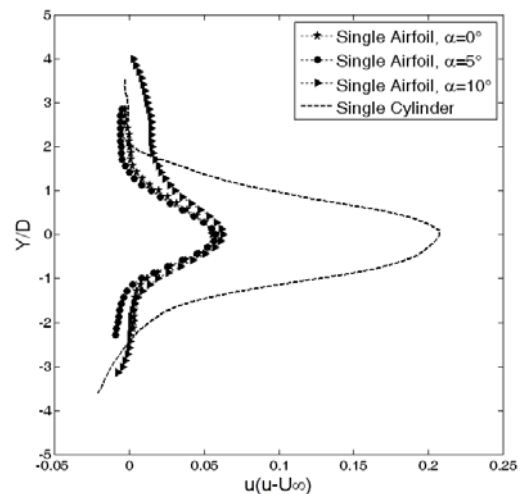
شدت توربولنس جریان آزاد $1/1.1\%$ و حداکثر نسبت انسداد در بیشترین زاویه حمله $5/7\%$ است. رینولذ مورد آزمایش بر اساس قطر سیلندر $3 \times 10^{-3} / 4 \times 10^{-3}$ و بر اساس وتر ایرفویل 4×10^{-6} می‌باشد.

۳- اعتبارسنجی نتایج

بهمنظور اعتبارسنجی نتایج و بدست آوردن مبنایی جهت بررسی اثرات تداخل، ضریب پسا و رفتار فرکانسی مربوط به سیلندر منفرد و ایرفویل با زوایای حمله صفر، $^{\circ} ۵$ و $^{\circ} ۱۰$ مورد بررسی قرار گرفته است. در شکل ۲ پروفیل افت اندازه حرکت اندازه‌گیری شده در عرض دنباله در $X/D=10$ نشان داده شده است. در جدول ۱ مقادیر اندازه‌گیری شده ضریب پسا با نتایج دیگران مقایسه شده است.

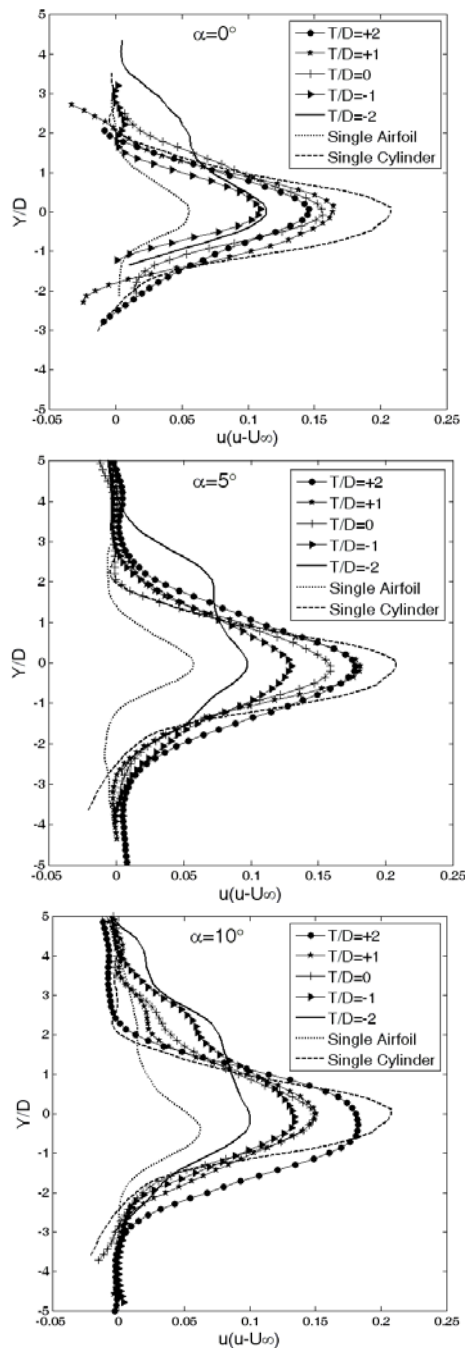
درصد خطای محاسبه برای حالات ارائه شده در جدول ۱ به ترتیب $4/4\%, 2/5\%, 2/2\%$ و $3/6\%$ می‌باشد. این مقادیر نشان می‌دهد که نتایج بدست آمده از این روش با حداکثر خطای تقریبی $4/4\%$ از دقت بالایی برخوردار است.

شکل ۳ طیف توانی سرعت در راستای جریان، Eu را در فواصل $X/D=1/5$ و $Y/D=1$ نشان می‌دهد. بی‌بعدسازی فرکانس در تمام موارد بر اساس قطر سیلندر بهمنظور یکسان‌سازی و امکان مقایسه صورت گرفته است.



شکل (۲): پروفیل افت اندازه حرکت مدل‌های منفرد در دنباله.

معبر جریان بین دو مدل و اندرکنش لبه بالایی دنباله ایرفویل با لبه پایین دنباله سیلندر افزایش می‌یابد. برای موقعیت‌های منفی نیز نیروی پسا با افزایش زاویه حمله کاهش می‌یابد.



شکل (۴): پروفیل افت اندازه حرکت در دنباله دور سیلندر پشت ایرفویل، برای موقعیت‌های عرضی مختلف سیلندر و زوایای حمله 0° , 5° و 10° .

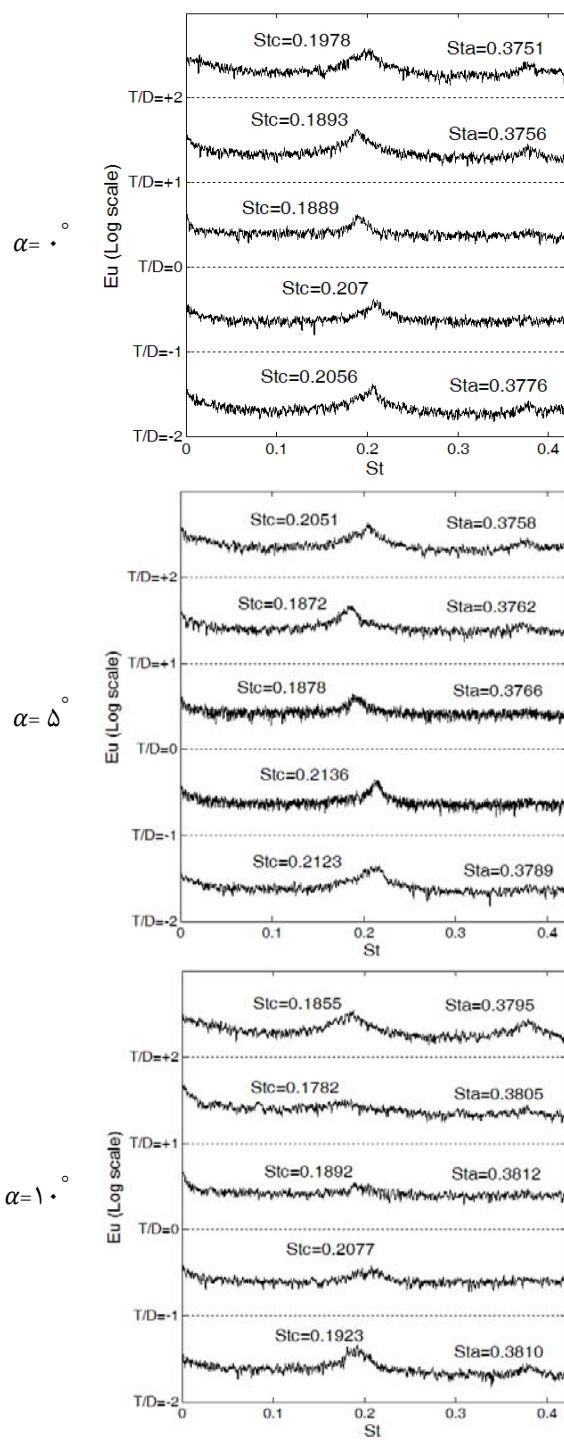
انتشار گردابه‌ها به تأخیر می‌افتد. این نتایج نیز با مقادیر مراجع [۸ و ۱۱-۱۲] مطابقت سیلار خوبی دارند. بر اساس اطلاعات این مراجع فرکانس انتشار گردابه برای سیلندر منفرد در این رژیم جریانی تقریباً ثابت و در حدود $0/2$ و برای ایرفویل در حدود $3/7^\circ$ می‌باشد. با توجه به زاویه واماندگی NACA4412 در محدوده رینولدز مورد بررسی در حدود $7/5$ می‌باشد [۱۱]، در این بررسی اثر زاویه حمله برای حالات عدم جدایش و پس از واماندگی مورد بررسی قرار گرفته است.

۴- نتایج و بحث

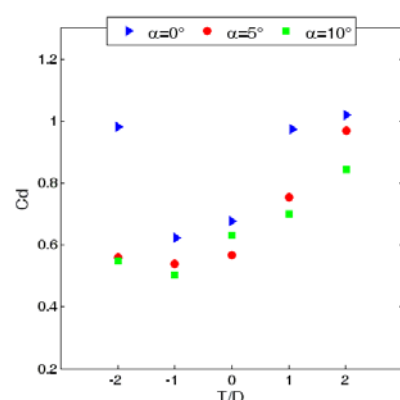
در شکل ۴ پروفیل افت اندازه حرکت در عرض دنباله در فاصله $X/D=10$ از مرکز سیلندر در موقعیت‌های عرضی مختلف، برای سه زاویه حمله نشان داده شده است. با توجه به اینکه سطح زیر این منحنی‌ها معیاری از ضریب پساست، شکل ۴ این مطلب را می‌رساند که در حالت تداخل مقدار افت اندازه حرکت و ضریب پسا نسبت به حالت سیلندر منفرد کاهش می‌یابد. این کاهش بهدلیل کنترل شدن جریان ورودی به سیلندر و رفتار کنترلی ایرفویل بالادست می‌باشد.

در شکل ۵ مقادیر ضریب پسا در موقعیت‌های مختلف عرضی سیلندر و زوایای حمله مختلف ایرفویل نشان داده شده است. بسته به نوع رژیم تداخلی، تغییرات این پارامترها رفتار پیچیده‌ای دارند، ولی در حالت کلی، در زاویه حمله صفر ضریب پسای سیلندر در هر موقعیتی بیشترین مقدار را دارد. زیرا دامنه دنباله ایرفویل کمترین مقدار را داشته و در نتیجه کمترین تأثیر را دارد.

مادامی که سیلندر در نیمه بالایی قرار دارد، با افزایش زاویه حمله از نیروی پسا کاسته می‌شود. افزایش زاویه حمله در اینجا باعث قوی‌تر شدن رشد دنباله می‌شود، که ناحیه کم فشارتری را در جلوی سیلندر ایجاد می‌کند. این ناحیه کم فشار نسبت به حالت عدم وجود ایرفویل پسای کمتری را ایجاد می‌کند. همچنین، افزایش پهنای دنباله و رشد ناحیه جدایش سطح بالایی ایرفویل در اثر افزایش زاویه حمله، باعث کاهش بیشتر سرعت ورودی به سیلندر می‌شود. این در حالیست که با قرار گرفتن سیلندر در دنباله پایینی ایرفویل برای موقعیت صفر با افزایش زاویه حمله از 5° به 10° درجه،



شکل (۶): طیف توانی مؤلفه سرعت در راستای جریان، Eu برای مدل‌های منفرد و ترکیبی در موقعیت‌های عرضی مختلف سیلندر و زوایای حمله 0° ، 5° و 10° .



شکل (۵): مقایسه مقادیر ضریب پسا برای موقعیت‌های عرضی مختلف سیلندر و زوایای حمله 0° ، 5° و 10° .

حداکثر افت پسا نسبت به سیلندر منفرد در حدود ۳۹٪ برای زاویه حمله صفر درجه و در حدود ۴۷٪ برای زوایای حمله ۵ و ۱۰ درجه می‌باشد. در کاهش پسا چند فاکتور مؤثرند. حضور ایرفویل رفتار جریان بالادست سیلندر را کنترل می‌کند. همچنین، دنباله بالادست سیلندر و تداخل جریان، آشفتگی را افزایش داده و جریان آشفته‌تر مقاومت بیشتری در مقابله با گرادیان فشار معکوس دارد.

چیدمان مربوط به بیشترین پسا برای هر زاویه حمله، کمترین تداخل را تجربه می‌کند. از طرفی، عدد اشتروهال کمتر مربوط به تناوب بیشتر و کشیدگی در اثر جدایش القایی، بازچسبیدن و یا تشکیل گردابه در بالادست سیلندر می‌باشد.

در شکل ۶ نمودارهای طیف توانی هر یک از موقعیت‌های مورد بررسی نشان داده شده است.

وجود دو اشتروهال در نمودار طیفی (St_a و St_b) ناشی از وجود دو مسیر گردابه‌ای متناوب برای دو مدل سیلندر و ایرفویل می‌باشد. در غیر این صورت، عدم حضور St_a به دلیل همپوشانی خوب جسم پایین دست توسط دنباله بالادست (مربوط به سایزهای کوچک‌تر شیار) و یا به علت برخورد دنباله بالادست با سطح پشت جسم پایین دست و پراکندگی دنباله بالادست (برای سایز شیارهای بزرگ‌تر) است.

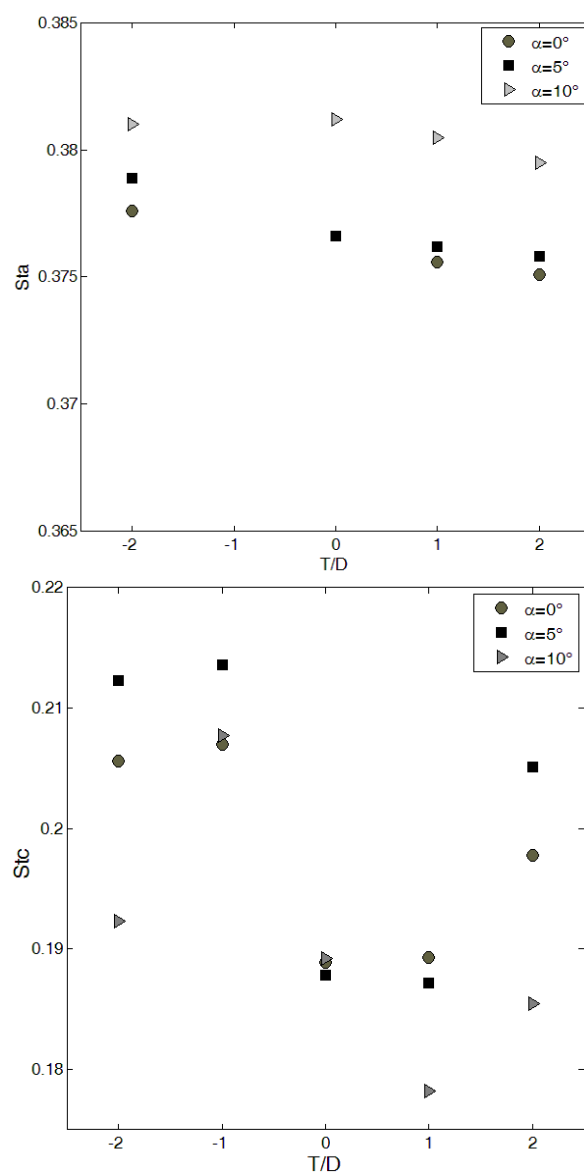
در شکل ۷ مقایسه‌ای بین مقادیر اشتروهال سیلندر و ایرفویل در دنباله نزدیک سیلندر و در موقعیت‌های مختلف عرضی سیلندر (T/D) و زوایای حمله مختلف ایرفویل ارائه شده است.

فرکانس غالب می‌باشد. در $\alpha = 0^\circ$, با گرایش لایه‌های هم علامت بیرونی به دلیل شکل منحنی ایرفویل، از گسترش پهنهای دنباله سیلندر کاسته می‌شود و با حرکت نقطه جدایش به سمت لبه فرار، انتشار نسبت به سایر زوایا شتاب بیشتری دارد. برای $\alpha = 5^\circ$, سایز معبّر جریان بین دو مدل کاهش یافته و هم‌پوشانی بهتری بین لایه‌های هم‌علامت صورت می‌پذیرد. با کاهش بیشتر معبّر جریان در $\alpha = 10^\circ$, با برخورد و بازچسبیدن لایه مثبت ایرفویل به سیلندر پهنهای دنباله نسبت به دو حالت قبل به میزان چشمگیری افزایش می‌یابد. با افزایش پهنهای دنباله، فرکانس انتشار کاهش می‌یابد. ولی همان‌طور که قبلاً بیان شد، تغییرات پسا علاوه بر پهنهای دنباله به وضعیت دنباله بالادست، میزان افت اندازه حرکت و سرعت ورودی به جسم پایین دست و یا میزان تداخل وابسته است. بنابراین، با افزایش زاویه حمله در این حالت، ضریب پسا افزایش و عدد اشتروهال کاهش می‌یابد.

الگوی تداخلی در $T/D = -1$, برای $\alpha = 0^\circ$ ترکیبی از بازچسبیدن و هم‌پوشانی می‌باشد که آن را الگوی بحرانی (CP^3) می‌نامیم. برای زوایای 5° و 10° , الگوی جسم گسترده (EBP^3) می‌نامیم.

در $T/D = -1$, و $\alpha = 0^\circ$, لایه‌های برشی بالایی جداسده از ایرفویل سیلندر را در بر می‌گیرند، پهنهای دنباله سیلندر و ضریب پسا به حداقل مقدار خود و عدد اشتروهال به حداقل مقدار خود در این زاویه حمله می‌رسند. این مکانیزم ترکیبی از بازچسبیدن لایه مثبت و هم‌پوشانی لایه‌های منفی می‌باشد و در حالت کلی با توجه به فاصله شکاف بین دو مدل یک فرکانس غالب در طیف توانی مشهود است. با افزایش زاویه حمله به 5° , هم‌پوشانی بهتری بین لایه‌های با چرخش مثبت دو مدل (نسبت به $T/D = -2$ و همچنین نسبت به زاویه حمله صفر) صورت می‌پذیرد و تنها یک مسیر گردابه‌ای در دنباله نزدیک سیلندر با حداقل قدرت نسبت به سایر حالات قابل مشاهده است. در نتیجه این اثر، پسا دارای مقدار حداقل و عدد اشتروهال سیلندر حداقلتر می‌باشند.

با توجه به شکل ۷, در تمام زوایای حمله با قرار گرفتن سیلندر در جدایش بالایی برای $T/D = 0^\circ$, $+1^\circ$ و $+2^\circ$ و با توجه به



شکل (۷): مقایسه مقادیر St_c و St_a برای موقعیت‌های عرضی مختلف سیلندر و زوایای حمله 0° , 5° و 10° .

اکنون با توجه به شناخت نیروهای پسا و رفتار فرکانسی گردابه‌ها، از مقایسه تغییرات عدد اشتروهال و ضریب پسا نسبت به یکدیگر و نسبت به پارامترهای چیدمان در شکل‌های ۵ و ۷، نتایج زیر برای هر یک از موقعیت‌ها قابل ارائه می‌باشد:

برای $T/D = -2$ رژیم تداخل هم‌انتشار (CSP^1) با دو

2- Critical Pattern

3- Extended Body Pattern

1- Co-Shedding Pattern

غالب، رژیم بحرانی یا بازچسبیدن، با تغییر ناپیوسته در مقادیر مشخصه، رژیم هم انتشار برای فواصل دورتر و با دو فرکانس غالب مجزا. تغییرات رژیمی بین بحرانی و دیگر رژیمها با تغییرات ناگهانی اشتراوهال بالادست و ضرب پسا همراه است. مشاهده می شود که برای اکثر موارد مطالعه ضرب پسا و عدد اشتراوهال از مقادیر مربوطه برای سیلندر منفرد کمتر و اشتراوهال مربوط به ایرفویل از مقدار منفرد آن بهجذ در حالت بحرانی بیشتر می باشد و این بهدلیل اثر سایه ایرفویل بالادست و رفتار کنترلی سیلندر پایین دست بر تشکیل دنباله ایرفویل و پاسخ آیرودینامیکی ایرفویل می باشد.

مراجع

1. Zdravkovich, M.M. and Pridden, D.L. "Interference between Two Circular Cylinders; Series of Unexpected Discontinuities", J. Industrial Aerodynamics, Vol. 2, No. 3, pp. 255–270, 1977.
2. Zdravkovich, M.M. "The Effects of Interference between Circular Cylinders in Cross Flow", J. Fluids and Structures, Vol. 1, No. 2, pp. 239–261, 1987.
3. Zdravkovich, M.M. "Flow Around Circular Cylinders", Fundamentals, Oxford Sci., Vol. 1, pp. 225–230, 1997.
4. Zdravkovich, M.M. "Flow Around Circular Cylinders. Applications", Oxford Sci., Vol. 2, 2003.
5. Igarashi, T. "Characteristics of the Flow Around Two Circular Cylinders Arranged in Tandem", Bulletin of the JSME, 1984, Vol. 27, No. 233, pp. 2380–2387.
6. Sumner, D., Price, S.J. and Pai" doussis, M.P. "Flow-Pattern Identification for Two Staggered Circular Cylinders in Cross-Flow", J. Fluid Mech., Vol. 411, No. 1, pp. 263–303, 2000.
7. Alam, M.M. and Zhou, Y. "Strouhal Numbers, Forces and Flow Structures around Two Tandem Cylinders of Different Diameters", J. Fluids and Structures, Vol. 24, No. 4, pp. 505–526, 2008.
8. Zhang, H.J., Huang, L., and Zhou, Y. "Aerodynamic Loading on a Cylinder behind an Airfoil", Experiments in Fluids, Vol. 38, No. 5, pp. 588–593, 2005.
9. Zhou, C.Y., Sun, C.W., Zhou, Y., and Huang. L.A., "Numerical Study of a Circular Cylinder in the Wake of an Airfoil", The Fifth Australasian Fluid Mech. Conf., Univ. of Sydney, Sydney, Australia, 2004.

اندازه بزرگ تر جدايش سطح بالاي ايرفویل نسبت به سطح پایينی، $St = \frac{C_D}{C_L}$ کاهش چشمگيري نسبت به دیگر حالات نشان می دهد.

برای $T/D = 0^\circ$ و $\alpha = 0^\circ$ ، یک فرکانس غالب با تغییر ناپیوسته نسبت به فاصله وجود دارد. بازچسبیدن و افزایش پهنانی دنباله باعث افزایش پسا نسبت به حالت قبلی می شود (CP). با افزایش زاویه، بازچسبیدن لایه ها دیگر نمی تواند حفظ شود. لایه بالایی ایرفویل به شیار نفوذ می کند و دنباله نزدیک کوچکی بالادست سیلندر تشکیل می شود. این ناحیه کوچک در شیار محدود شده و St برای این موقعیت کمترین مقدار را دارد. این رژیم هم انتشار می باشد و موقعیت رژیم بحرانی در فاصله طولی بین صفر و 1° می باشد. برای زاویه حمله 10° ، لایه بالایی ایرفویل بر سیلندر محیط می شود، ولی بهدلیل وجود شیار و جدايش القابی بر لایه پایینی سیلندر، پهنانی دنباله سیلندر نسبت به زاویه 5° و یا موقعیت عمودی قبلی افزایش می یابد (CSP).

با افزایش اندازه شکاف در زاویه حمله صفر، بازچسبیدن لایه های برشی دیگر حفظ نمی شود و برای $T/D = +1^\circ$ و $T/D = +2^\circ$ ، رژیم هم انتشار و تداخل باعث انتشار واگرای گردابه با طول تشکیل کمتر در دنباله سیلندر در اثر جدايش القابی می شود. در $\alpha = 5^\circ$ مانند موارد مشابه در زاویه کوچکتر، برای $T/D = +1^\circ$ و $T/D = +2^\circ$ ، مسیر گردابه ای سیلندر واگرا و دو مسیر مجزا تشکیل می شود (CSP). با افزایش بیشتر زاویه حمله $(\alpha = 10^\circ)$ و پیشرفت محل جدايش لایه مرزی به پشت لبه حمله، حجم بیشتری از سیال مرده روی ایرفویل تشکیل و دنباله پشت لبه فرار ناپایدارتر می شود. به همین دلیل گردابه های ضعیفتر عامل نرخ کمتر سرعت بازیافت و عامل طولانی کردن تناوب انتشار گردابه از سیندر باشد.

۵- نتیجه گیری

تغییرات الگوی گردابه ای در دنباله نزدیک یک سیلندر در موقعیت های مختلف پشت یک ایرفویل در زوایای حمله مختلف، توسط تکنیک CTA مورد بررسی و تحلیل قرار گرفت. با تغییر T/D و α سه الگوی جریان به صورت زیر بر جریان تداخلی حاکم است:

رژیم جسم گسترده برای فواصل کوچک، با یک فرکانس

- ۳۹
12. Tropea, C., Yarin, A.L., and Foss, J.F. (Eds.). "Springer Handbook of Experimental Fluid Mechanics", Springer-Verlag Berlin, Heidelberg, 2007.
 13. Yıldırım, I., Cetiner, O., and Unal, M.F. "PIV Measurements of the Wake Interactions for a Circular Cylinder behind an Airfoil", The 6th Int. Symposium on Particle Image Velocimetry Pasadena, California, USA, September 21-23, 2005.
 10. Yıldırım, I., Cetiner, O., and Unal, M.F. "Wake Interactions for a Circular Cylinder Behind an Airfoil", The Third Int. Conf. on Vortex Flows and Vortex Models, Yokohama, Japan, November 21-23, 2005.
 11. Ikehata, M., Inoue, T., Ozawa, M. and Matsumoto, S. "Experimental Investigation on Flow Fields of Viscous Fluid around Two-dimensional Wings and Comparison with Computational Results", J. Marine Sci. and Tech., Vol. 2, No. 2, pp. 62-76, 1997.

